

## بررسی پروتئومیکی گیاهان تاریخت شده با GR-RBP2 در مقایسه با گیاه وحشی

### مهناز اقدسی

گرگان، دانشگاه گلستان، دانشکده علوم، گروه زیست‌شناسی

تاریخ پذیرش: ۹۰/۳/۸

تاریخ دریافت: ۸۸/۶/۸

### چکیده

GR-RBP2 یکی از ۸ عضو خانواده GR-RBP در گیاه آرابیدوپسیس است که پس از ترجمه در میتوکندری جای می‌گیرد. مطالعه حاضر به منظور بررسی پروتئومیکی گیاهان تاریخت شده با GR-RBP2 در مقایسه با گیاه وحشی صورت گرفته است. در این مطالعه ژن GR-RBP2 از گیاه آرابیدوپسیس جداسازی و در پلاسمید pBIN19 کلون شد. سپس پلاسمید نوترکیب از طریق باکتری *Agrobacterium tumefaciens* و به روش Floral Dipping به گیاه آرابیدوپسیس انتقال یافت. با انتقال cDNA کامل GR-RBP2 بیست و یک لاین به دست آمد. گیاهان تاریخت شده از نظر فنوتیپی و زمان گلدهی تفاوتی را با گیاه وحشی نشان نداده و قادر به تولید بذر بودند. میزان بیان ژن در سه لاین تاریخت شده مختلف و گیاه وحشی تعیین شد. میزان mRNA در گیاهان تاریخت شده ۲ برابر بیشتر از گیاه وحشی بود. آنالیز پروتئومیکی با استفاده از دو سیستم ژل مختلف صورت گرفت: 2D Blue-native/SDS PAGE و 2D IEF/ SDS PAGE. تمام ژلها با نقره رنگ آمیزی شدند. نتایج حاصل از ژل الکتروفورز ۲ بعدی نشان داد که پروتئین 2 در لاینهای تاریخت شده افزایش بیان داشته است. این نتایج نشان داد که پروتئینهای زنجیره تفسی در لاینهای تاریخت شده مورد بررسی و گیاه وحشی به فراوانی وجود دارد. کمپلکس V زنجیره تنفسی (F1) تا حدودی تخریب شده بود اما این امر در تمام لاینهای تاریخت شده و گیاه وحشی مشابه بود. آنالیز طیفهای MS به شناسایی ۱۱۰ لکه پروتئینی منجر شد که ۶ لکه پروتئینی در لاینهای تاریخت شده در مقایسه با گیاه وحشی افزایش نشان داد. نگاهی به برخی پروتئینهای شناخته شده نشان داد که هیچ تغییر عمده‌ای که نشانده‌ندۀ تحریک یا سرکوب برخی مسیرهای متابولیکی باشد وجود ندارد.

**واژه‌های کلیدی:** GR-RBP2، آنالیز پروتئومیکی، میتوکندری و انتقال ژن

نویسنده مسئول، تلفن: ۰۹۱۰۱۰۶۲۲۰۴، پست الکترونیکی: Aghdasi46@yahoo.com

### مقدمه

عمل سایر فاکتورهای تنظیمی را تعدیل می‌کند<sup>۹</sup> و<sup>۱۰</sup>.

تاكونون تعداد ۱۹۶ پروتئین در گیاه آرابیدوپسیس شناخته شده که توانایی اتصال به RNA را دارند. این پروتئینهای پروتئین اتصالی RNA Binding Protein یا RNA Binding Protein نامیده می‌شوند. گروهی از این پروتئینها یک منطقه غنی از اسید آمینه گلیسین در خود داشته و اصطلاحاً پروتئین اتصالی RNA غنی از گلیسین یا GR-RBP نام دارند. خانواده GR-RBP در گیاه آرابیدوپسیس هشت عضو دارد که به نامهای

در یوکاریوتها تنظیم بیان ژن فرآیندی پیچیده بوده که در سطوح مختلفی صورت می‌گیرد. یکی از روش‌های اصلی تنظیم بیان ژن در یوکاریوتها تنظیم پس از رونویسی است. سطوح مختلف تنظیم پس از رونویسی شامل پردازش، انتقال، پایداری و ترجمه mRNA است. در این مراحل تنظیم بیان ژن بطور مستقیم و یا غیر مستقیم صورت می‌گیرد. در حالت اول تنظیم بیان ژن با اتصال پروتئین اتصالی RNA صورت می‌گیرد. اما در شکل دوم پروتئین اتصالی

شکستن خواب بذور قبل از انتقال به اتفاق کشت به مدت ۲-۴ روز در تاریکی و در دمای ۴ درجه سانتی گراد نگهداری شدند.

**خلاص سازی DNA ژنومیک PCR :** DNA ژنومیک گیاه آراییدوپسیس با استفاده از کیت ویژه استخراج DNA (The pure gene DNA isolation, Amersham Pharmacia Biotech, England) استخراج شد. جداسازی ژن مورد نظر به روش PCR و با استفاده از پرایمر های رفت و برگشت ویژه صورت گرفت. با انجام PCR قطعه حد واسطه به طول تقریبی 500bp تکثیر شد.

**pGEM-T** کلون کردن ژن *GR-RBP2* در پلاسمید **Easy Vector** : به منظور تکثیر بیشتر ژن *GR-RBP2* این pGEM-T قطعه توسط آنزیم T4 DNA ligase در پلاسمید Easy Vector کلون شد. سپس پلاسمید نوترکیب به باکتری *E. coli* سویه DH5α منتقل شدند. باکتریهای حامل پلاسمید نوترکیب بر روی محیط کشت حاوی آمپی سیلین گزینش شدند. این پلاسمید ها به روش لیز قلیایی استخراج و به منظور اثبات قطعه مورد نظر از آنزیم *ECORI* استفاده شد.

**ساخت پلاسمید pBIN19/35S/NOS** : ابتدا پلاسمید pUC18 به کمک آنزیم *EcoRV* برش داده شده و سپس قطعه CaMV35s-NOS از آن جداسازی شد. سپس ناقل pBIN19 به کمک *EcoRI* و *HindIII* برش داده شد و قطعه CaMV35s-NOS در این ناقل کلون شد. عملیات کلون کردن توسط آنزیم T4 DNA ligase صورت گرفت. به منظور جلوگیری از خودجوشی پلاسمید از آنزیم الکالین فسفاتاز استفاده شد. پس از انتقال پلاسمید نوترکیب به باکتری *E. coli* سویه DH5α گزینش بر روی محیط کشت حاوی آمپی سیلین انجام شد. پلاسمید های نوترکیب به روش لیز قلیایی استخراج و به منظور اثبات قطعه مورد نظر از آنزیمهای *XbaI* و *XmnI* استفاده شد.

GR-RBP8 تا GR-RBP1 معرفی شده اند (۱۱، ۱۳). تمام اعضای این خانواده دارای یک پایانه آمینی و یک پایانه کربوکسیلی محافظت شده هستند. پایانه آمینی در شناسایی RNA نقش داشته و اصطلاحاً به آن RRM یا **Recognition Motif** گفته می شود (۸، ۱۰). در پایانه کربوکسیلی نیز یک منطقه غنی از گلیسین وجود دارد که به نظر می رسد در بر هم کنش پروتئین-پروتئین نقش داشته باشد (۱۳). شواهد نشان می دهد که انواع GR-RBP ها در کترول و قایع پس از رونویسی نقش مهمی را ایفاء می کند (۹، ۱۵). همچنین نشان داده است که برخی از اعضای این خانواده در مقاومت به تعدادی از تنشهای محیطی نقش دارند. به عنوان مثال گیاهان تاریخت شده با *GR-RBP7* و *GR-RBP8* نسبت به سرما مقاوم بوده و یا گیاهان تاریخت شده با *GR-RBP4* نسبت به شوری مقاوم هستند (۱۲).

یکی از انواع GR-RBP ها *GR-RBP2* است که در میتوکندری جای دارد. پروتئین حاصل از این ژن از ۱۵۳ اسید آمینه ساخته شده است (۱۳). به منظور مطالعه نقش *GR-RBP2* در مقاومت به تنشهای محیطی ابتدا ژن مورد نظر در گیاه آراییدوپسیس تاریخت شده و پس از بررسی ویژگیهای ریختی و مورفوЛОژیکی، بیان ژن و پروتئومیکس گیاهان به دست آمده مورد بررسی قرار گرفته تا در ابتدا گیاهان تاریخت شده در شرایط طبیعی با گیاه شاهد مورد مقایسه قرار گیرند.

## مواد و روشها

**مواد گیاهی و شرایط کشت:** بذور آراییدوپسیس (کلمبیا-صفر) به مدت ۵ دقیقه در اتانول ۷۰ درصد ضدغونی شده و به دنبال آن ۵ بار با آب مقطار استریل شستشو داده شدند. بذور گیاهان تاریخت شده نیز با بخار حاصل از اسید کلریدریک-آب ژاول ضدغونی شده و در محیط کشت ۱/۲ MS حاوی ۸ درصد آکار کشت شدند. به منظور

**استخراج میتوکندری:** در ابتدا گیاهچه های وحشی و تاریخت شده آراییدوپسیس در فضای گلخانه در شرایط بلند روز به مدت ۳-۴ هفته کشت شدند. استخراج میتوکندری از ۳۰ گرم برگ تازه و به روش سانتریفیگاسیون افتراقی صورت گرفت (۶). به منظور جلوگیری از پروتئولیز پروتئینها از Protease inhibitor (Roche, Indianapolis, IN, USA) Coctail Complet استفاده شد. میزان پروتئین به روش براوفورد و همکاران (۱۹۷۶) سنجش شده است (۴).

**2D Blue-Native/ Tricine SDS PAGE**: پس از استخراج میتوکندریها میزان خلوص نمونه تهیه شده به روش فوق تعیین شد (۳). ۱۰۰ میکروگرم از پروتئین در ۷۵ میکرولیتر از بافر ACA (۶-امینو-کاپرویک اسی ۶ میلی مولار- محلول تریس ۵۰ میلی مولار با pH ۷) حل شده و سپس ۱۵ میکرولیتر از N-دودسیل مالتوزید ۱۰ درصد به آن اضافه شد. آنگاه به مدت ۳۰ دقیقه در ۳۰۰۰۰ دور سانتریفیوژ شدند. سپس محلول رویی با ۲۰ میکرولیتر از محلول کوماسی بلو مخلوط و در ژل آکریلامید (از نوع گرادیان) ۴/۵ تا ۱۰ درصد بارگیری شد.

**2D IEF/Tricine SDS PAGE**: آنالیز پروتئینهای 2D IEF/Tricine SDS PAGE به روش IPG Phore System صورت گرفت. این روش با استفاده از (Amersham Pharmaciabiotec, England) ژل Dyestrip Immobilin انجام شد (۳). ۱۰۰ میکرو گرم از پروتئین در ۱۰ میکرولیتر از محلول قلیایی A (اوره ۸ مولار- محلول ۴ درصد تریتون ۱۰۰-X-۱۰۰- تریس ۴۰ میلی مولار- محلول ۵۰ میلی مولار و محلول ۰/۱ مولار فنیل متیل سولفونیل فلوراید) حل شده و پس از ۱ ساعت انکوبه کردن در حرارت اتاق ۳۴۰ میکرو لیتر از محلول Drystrip به آن اضافه شد. همه ژلهای با نقره رنگ آمیزی شدند.

**pBIN19/35S/NOS** در پلاسمید **GR-RBP2** کلون کردن: به منظور انتقال ژن **GR-RBP2**، پلاسمید **pBIN19/35S/NOS** با آنزیم **SmaI** بر ش داده شد. سپس ژن تکثیر شده توسط آنزیم **T4 DNA ligase** در پلاسمید نوترکیب کلون شد.

انتقال ژن به آگروباکتریوم و گیاه آراییدوپسیس: برای انتقال پلاسمید نوترکیب **pBIN1935S/GR-RBP2/NOS** به آگروباکتریوم **pGV2260** از روش الکتروشوک استفاده شد. انتقال آگروباکتریوم حامل پلاسمید نوترکیب **pBIN1935S/GR-RBP2/Nos** به گیاهچه های گلدار آراییدوپسیس به روش **Floral Dipping** صورت گرفت (۵).

**استخراج RNA، RT-PCR و Q-PCR:** استخراج RNA از RNeasy plant mini گیاهچه های ۱۰ روزه با استفاده از kit (QIAGEN USA, Valencia, CA). غلاظت RNA استخراج شده توسط اسپکتروفوتومتر در طول موج 260nm تعیین شد. به منظور حذف ژنومیک DNA ۱۰ نانوگرم از RNA استخراج شده با ۲ واحد از DNase (DNA-free, Ambion, Austin, USA) تیمار شد. پس از تأیید عدم وجود DNA ژنومیک به کمک PCR، ۱ نانوگرم از RNA تیمار شده جهت ساخت cDNA استفاده شد. RT-PCR به کمک M-MLV reverse transcriptase (Promega, Madison, WI) انجام شد. با استفاده Q-PCR از دستگاه ABI-prism 7700 sequenace detection system و SYBR Green method و *AtACTIN* به عنوان ژن مرجع صورت گرفت. توالی پرایمر های رفت و برگشت مورد استفاده به شرح ذیل می باشد: ۳' tcacttcggtgacgttgtt ۳' (۵' atgtgacgaccattcagttc ۳', ۵' ۵' gccaagtgattgtggagactc ۳', ۵' ۵' gacccaaagacggagacttt ۳'). این آزمایش با ۳ بار تکرار صورت گرفته است.

*RBP2* در مقایسه با گیاه وحشی فتوتیپ طبیعی داشته و از نظر شکل ظاهری و زمان گلدهی تفاوتی را نشان ندادند. کلیه گیاهان تاریخت شده قادر به تولید بذر بوده و بذرها نیز قابلیت رویش داشتند.

بررسی بیان ژن: به منظور اطمینان از آنکه تغییرات احتمالی پروتئومیکی به دست آمده ناشی از تغییرات در *GR-RBP2* mRNA پروتئین مورد نظر است بیان ژن در سطح در گیاه وحشی در مقایسه با گیاهان تاریخت شده مورد بررسی قرار گرفت. تجزیه بیان ژن در گیاهچه های ۱۰ روزه که بر روی محیط کشت MS ۱/۲ در شرایط روز بلند کشت شده بودند با روش RT-PCR و Q-PCR صورت گرفت. نتایج نشان داد که میزان بیان ژن در گیاهان تاریخت شده به طور معنی داری از گیاهچه های وحشی بالاتر است. شکل ۱ نشان دهنده بیان ژن *GR-RBP2* در گیاه وحشی در مقایسه با ۳ لاین تاریخت شده است. تجزیه بیان ژن سایر لاینهای در این شکل نشان داده نشده است.

مطالعات بعدی نیز تنها بر روی ۳ لاین ۳۳، ۳۶ و ۳۸ صورت گرفته است. در روی ژل حاصل از تکنیک 2D Blue- Native/ SDS PAGE پروتئینهای متعددی مشاهده شد که از آن جمله کمپلکس های پروتئینی زنجیره تنفسی را می توان نام برد. کمپلکس ۷ زنجیره تنفسی تا حدودی تخریب شده بود. که این امر در هر سه لاین تاریخت شده و نیز گیاه وحشی مشابه بوده است. میزان کمپلکس I زنجیره تنفسی نسبت به حالت ابر کمپلکس آن با کمپلکس III ۲ کمتر است. این امر نیز در کلیه گیاهان مورد بررسی یکسان بوده است (شکل ۲).

نتایج حاصل از تکنیک IEF/SDS و آنالیز طیفهای MS به شناسایی حدود ۱۱۰ لکه پروتئینی در گیاه وحشی و تاریخت شده انجامید. در جدول ۱ مشخصات برخی از پروتئینهای شناسایی شده آمده است.

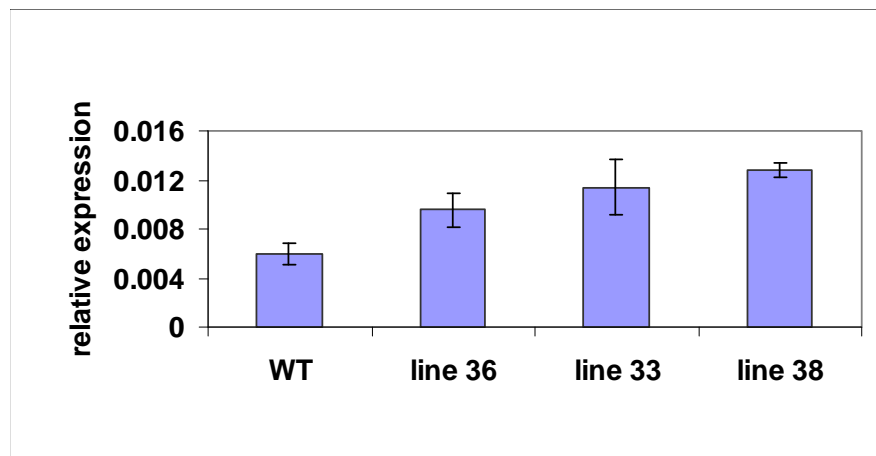
شناسایی پروتئینها و بررسی اسپکترومتری جرم: پس از بریدن لکه های پروتئینی از ژل دو بعدی؛ این پروتئینها در اپندورف حاوی ۲۵۰ μl از محلول NH<sub>4</sub>HCO<sub>3</sub> ۲۵ mM به مدت ۳۰ دقیقه انکوبه شدند. در نهایت پروتئینها پس از لیپوفیلیز شدن با ۱ μl از محلول هضم (Promega, Madison, WI) [در ۲۰ μl از محلول NH<sub>4</sub>HCO<sub>3</sub> ۵۰ mM] به مدت ۴ ساعت در ۳۷ درجه سانتی گراد انکوبه گردید. در مرحله بعد به نمونه ها ۱۰۰ از محلول NH<sub>4</sub>HCO<sub>3</sub> ۵۰ mM اضافه و به مدت ۳۰ دقیقه انکوبه شدند. سپس فاز رویی جداسازی و در ظرفی جداگانه نگهداری شد.

خالص سازی پیتید های جداسازی شده با استفاده از (Millipore, Bedford, MA) Zip-Tips روش کار پیوست صورت گرفت. آنالیز پیتید های جداسازی شده به کمک دستگاه اسپکتروفوتومتری جرمی از نوع MALDI TOF/ TOF صورت گرفت. سکوانسینگ ProteinProbe پیتید ها و شناسایی پروتئینها با کمک برنامه BioLynx و Peptide Sequencing مربوط به نرم افزار (Version 3.4, Micromass) مربوط به مقایسه سکوانهای به دست آمده در سایت آرابیدوپسیس (www.Arabidopsis.org) صورت گرفت. آرابیدوپسیس (www.Arabidopsis.org) صورت گرفت. COMPUTE محاسبه وزن مولکولی و PI پروتئینها به کمک pI/Mw (www.expasy.ch) صورت گرفت.

## نتایج

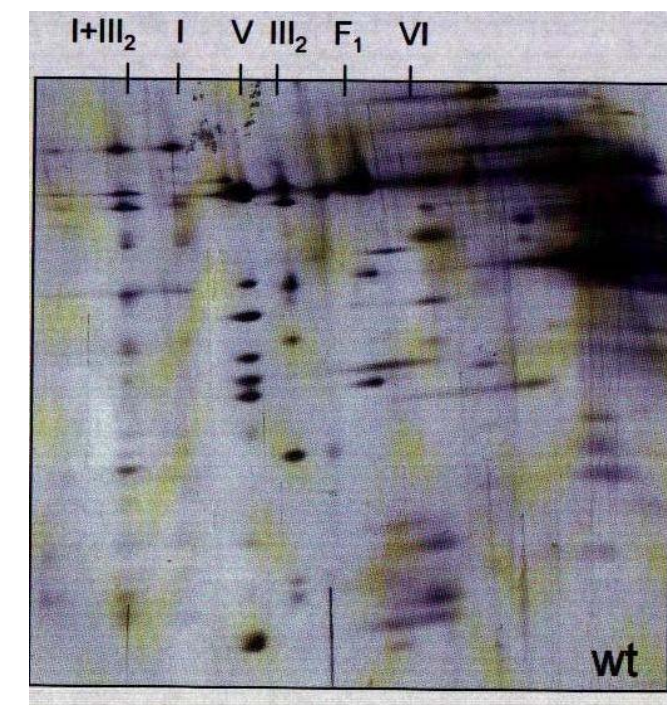
تکثیر و خالص سازی ژن *GR-RBP2* از گیاه آرابیدوپسیس با استفاده از PCR صورت گرفت. با انتقال ژن *GR-RBP2* به گیاه آرابیدوپسیس و گرینش دانه رستهای تاریخت شده بر روی محیط کشت حاوی کانامایسین ۲۱ گیاهچه تاریخت شده به دست آمد.

ویژگیهای ریختی گیاهان تاریخت شده در مقایسه با گیاه وحشی (کلمبیا-صفر): گیاهان تاریخت شده با-

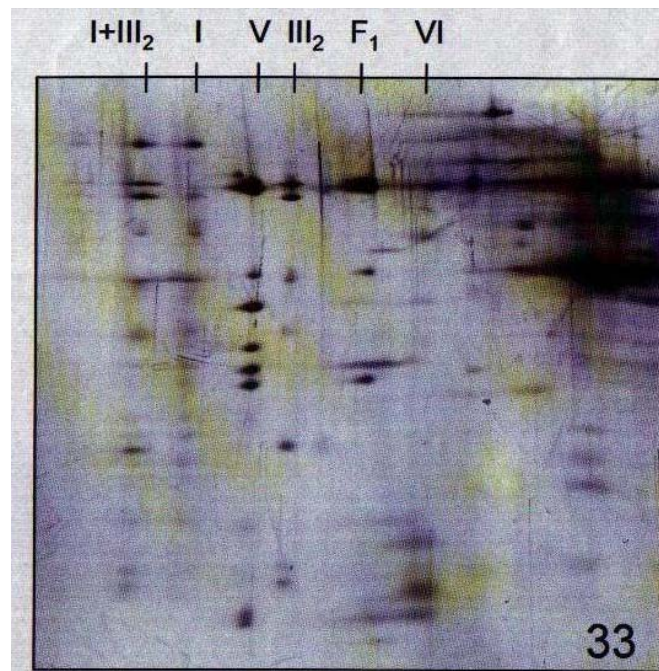
شکل ۱- بیان ژن *GR-RBP2* در گیاه وحشی در مقایسه با لاین ترا ریخت شده گیاه آربیدوپسیس.

جدول ۱- مشخصات تعدادی از پروتئینهای میتوکندریای شناخته شده گیاه آربیدوپسیس

شماره لکه	پروتئین شناسایی شده	جرم مولکولی
۱	d ATP سیتاز، زیر واحد	۱۹,۵
۲	δ ATP سیتاز، زیر واحد	۱۸,۵
۳	کمپلکس ۱، زیر واحد ۱۸ کیلو دالتونی	۱۷,۹
۴	پروتئین ناشناخته میتوکندریایی	۱۸,۴
۵	GR-RBP	۱۱,۶
۹	نوکلئوزید دی فسفات کیناز	۱۷,۱
۱۰	اینوژیتول-۵-منوفسفات دهیدروژنаз	۱۸,۶
۱۳	δ ATP سیتاز، زیر واحد	۲۲,۲
۱۴	سوپر اکسید دسموتاز	۲۲,۵
۱۸	پروتئین ناشناخته میتوکندریایی	۱۹,۷
۲۱	۲۴ کیلو دالتونی ATP سیتاز، زیر واحد	۲۲
۲۶	E1β پیروات دهیدروژناز، زیر واحد	۲۹
۲۹	سوکسینیل کوانزیم لیگاز A، زیر واحد β	۴۲,۴
۳۰	β ATP سیتاز، زیر واحد	۵۴,۲
۳۳	NAD مالات دهیدروژناز	۳۳,۳
۳۵	سوکسینیل کوانزیم لیگاز A، زیر واحد α	۳۱,۷
۳۷	b5 ردکتاز سیتوکروم	۲۷,۳
۴۱	پورین میتوکندریایی	۲۹,۱
۴۲	پورین میتوکندریایی	۲۹,۳
۵۵	α ATP سیتاز، زیر واحد	۵۵



(الف)



(ب)

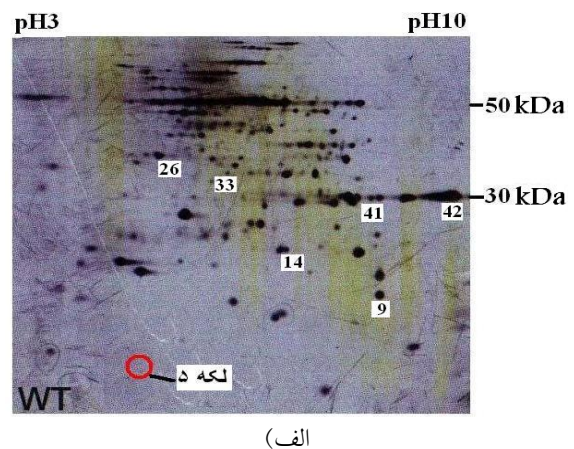
شکل ۲- ژل الکتروفورز حاصل از سیستم 2D Blue-Native/Tricine SDS PAGE در (الف) گیاه وحشی (Wt) و (ب) تراریخت شده (لاین ۳۳). I: کمپلکس I, II: کمپلکس II, V: کمپلکس V, F1: منطقه F1 ابر کمپلکس V, I+III<sub>2</sub>: ابر کمپلکسی از کمپلکس I+III<sub>2</sub> زنجیره تنفسی

۱۳) افزایش بیان داشته اند (شکل ۳). اما در مورد سایر پروتئینها تفاوتی را نشان نمی دهد.

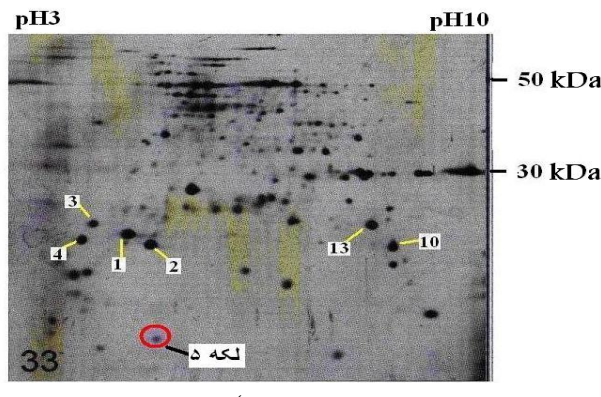
نگاهی به برخی پروتئینهای شناخته شده میتوکندریایی نظیر نوکلوزید دی فسفات کیناز (لکه ۹)- سوپر اکسید- دسموتاز (لکه ۱۴)- پیرووات دهیدروژناز (لکه ۲۶)- پورین (لکه ۴۱ و ۴۲)- NAD مالات دهیدروژناز (لکه ۳۳) و سیتوکروم B رده کاز نشان می دهد که هیچ تغییر مشخصی که نشان دهنده فعل شدن یا سرکوب مسیرهای متابولیکی باشد وجود ندارد (شکل ۳).

در این مقایسه پروتئین GR-RBP2 لکه شماره ۵ است. میزان حضور لکه شماره ۵ در گیاه وحشی بسیار کم نگ بوده، در حالی که در لایهای تاریخت شده امکان تشخیص آن به راحتی وجود داشت (شکل ۳).

مقایسه این دو ژل نشان می دهد که در لایهای تاریخت شده با ژن *GR-RBP2*، پروتئینهای ATP سنتتاز ساب یونیت ۱ (لکه ۲)- یونیت d (لکه ۱) ATP سنتتاز ساب یونیت ۵ (لکه ۴)- کمپلکس I زیر واحد ۱۸ کیلو دالتونی (لکه ۳)- پروتئین ناشناخته میتوکندریایی (لکه ۴)- ۵ مونو فسفات اینوزین دهیدروژناز (لکه ۱۰)- ATP سنتتاز ساب یونیت ۶ (لکه



(الف)



(ب)

شکل ۳- ژل الکتروفورز حاصل از تکنیک IEF/SDS در (الف) گیاه وحشی (Wt)، (ب) تاریخت شده (لاین ۳۳) در IEP بین ۳ و ۱۰ و وزن مولکولی بین ۳۰ تا ۵۰ کیلو دالتون. ژلهای با نقره رنگ آمیزی شدند. محل پروتئین GR-RBP2 با دایره مشخص شده است. لکه ۱: ATP سنتتاز ساب یونیت ۱ (لکه ۲: ATP سنتتاز ساب یونیت ۵)، لکه ۳: کمپلکس I زیر واحد ۱۸ کیلو دالتونی، لکه ۴: پروتئین ناشناخته میتوکندریایی، لکه ۵: ۵ مونو فسفات اینوزین دهیدروژناز، لکه ۱۰: ATP سنتتاز ساب یونیت ۶.

## بحث

سکوانس‌های گذر پروتئین مزبور هستند که آن را به سمت میتوکندری هدایت می‌کند (۱۳). نتایج حاصل از تحقیق حاضر نشان داد که تاریخت کردن گیاه آرابیدوپسیس با ژن *RBP2* تغییری در میزان و نوع پروتئینهای گیاه آرابیدوپسیس در شرایط طبیعی به وجود نمی‌آورد. در بین ۱۱۰ پروتئین مورد بررسی تنها بیان برخی از زیر واحد های ATP سنتتاز تغییر نشان داده است. در ارتباط با پروتئینهای شناخته شده میتوکندریایی که در مسیرهای متابولیکی اصلی نقش دارند. نیز شواهدی که نشان دهنده تغییری در مسیرهای متابولیکی باشد یافت نشده است. این نتایج نشان می‌دهد که در شرایط طبیعی پروتئین *GR-RBP2* تغییراتی را در بیان سایر پروتئینها به وجود نمی‌آورد. احتمالاً در شرایط استرس *GR-RBP2* بیان پروتئینهایی را تغییر می‌دهد که در مقاومت گیاه در شرایط استرس نقش دارند. بررسی گیاهان تاریخت کرده در مقایسه با گیاه وحشی در شرایط استرسی مختلف نظری شوری، سرما و یا خشکی می‌تواند مدعای فوق را به اثبات رسانده و نقش *GR-RBP2* را در گیاهان نشان دهد.

### تشکر و سپاسگزاری

از دکتر پیتر براون و همکاران ایشان در دانشگاه هانوفر به جهت همکاری در انجام Mass spectrometry و آنالیز داده‌های آن تشکر و قدردانی می‌گردد.

میتوکندری اندامکی است که در گیاهان نقشهای متعددی را بر عهده دارد. این اندامک به طور غیر مستقیم در فتوستتر و نیز یک مرحله از تنفس نوری دخالت دارد.

امروزه آنالیز پروتئومیک به یک ابزار قوی در تحقیق فرآیندهای پیچیده سلولی تبدیل شده است. این روش در مطالعات ژنتیکی و فیزیولوژی گیاهان نیز بسیار موفق بوده است (۱۶). به عنوان مثال مقایسه الگوهای پلی پیتیدی حاصل از الکتروفورز تأثیر شوری را در ستر پروتئینهای گیاه تحت تنش نشان می‌دهد (۱). اخیراً نیز تغییرات الگوی بیان پروتئینها در مراحل مختلف باززایی گیاهان در شرایط کشت بافت نیز مورد توجه قرار گرفته است (۲).

آنالیز پروتئوم میتوکندریایی به کمک ژل الکتروفورز دو بعدی و رنگ آمیزی نقره (در شرایط استاندارد) توانسته ۶۵۰ پروتئین مختلف را شناسایی کند (۱۱ و ۱۴). نتایج نشان داده که تعداد کل ژنهای آرابیدوپسیس که پروتئینهای میتوکندری را کد می‌کند بین ۱۵۰۰ تا ۲۰۰۰ است. بر طبق این مطالعات حدود ۱۰ درصد از میزان کل ژنوم آرابیدوپسیس باستی پروتئینهایی را کد کند که در میتوکندری جای دارد (۷).

*GR-RBP2* یک پروتئین میتوکندریایی است. این پروتئین از ۱۵۳ آمینو اسید ساخته شده است. اسید آمینه های ۱-۳۳

## منابع

- ابراهیم زاده، م. (۱۳۸۷). بررسی تغییرات پروتئینها در مراحل مختلف رویانزایی بدنبال از قطعات برگ. مجله زیست‌شناسی ایران. جلد ۲۱، شماره ۲، ص ۳۶۹-۳۸۱.
- 3- Berkemeyer, M., Schieble, R. and Ocheretina, O. 1998., A novel non-redox-regulated NAD-dependent malate dehydrogenase from chloroplasts of *Arabidopsis thaliana* L. J. Biol. Chem. 273: 27927-27933.
- 4- Bradford, M.M. 1976., A rapid and sensitive method for the quantitation of microgram quantities of protein utilizing the principle of protein-dye binding. Analytical Biochem. 72: 248-254.
- 5- Clough, S.J. and Bent, A.F. 1998., Floral dip: a simplified method for *Agrobacterium*-mediated transformation of *Arabidopsis thaliana*. Plant J.16:734-745

- 6- Day, Da. and Neuburger, M. 1985., Douce, R. Biochemical characterization of chlorophyll-free mitochondria from pea leaves. *Aust. J. Plant Physiol.* 12: 219-228
- 7- Emanuelsson, O., Nielsen, H., Brunak, S. and Von heijene, G. 2000., Predicting subcellular localization of proteins based on their N-terminal amino acid sequence. *J. Mol. Biol.* 300:1005-1016
- 8- Gomez, J., Sanchez-Martinez, D., Stiefel, V., Ringau, J., Puigdomenech, P. and Pages, P. 1998., A gene induced by the plant hormone abscisic acid in response to water stress encodes a glycine-rich protein. *Nature.* 334: 262-264
- 9- Higgins, C.F. 1991., Stability and degradation of mRNA. *Current Opinion in Cell Biology.* 3: 1013-1018
- 10- Kenan, D.J., Query, C.C. and Keen, J.D. 1991., RNA recognition: towards identifying determinants of specificity. *Trends in Biochemical Schience.* 16: 214-220
- 11- Kruft, V., Eubel, H., Jansch, L., Werhahn, W., and Braun, H.P. 2001., Proteomic approach to identity novel mitochondrial proteins in *Arabidopsis*. *Plant Physiol.* 127: 1694-1710.
- 12- Kwak, K.J., Kim, Y.O. and Kang, H. 2005., Characterization of transgenic *Arabidopsis* plants overexpressing GR-RBP4 under high salinity, dehydration, or cold stress. *J. experimental Botany.* 421:3007-3016
- 13- Lorkovic, Z.J. and Barta, A. 2002., Genomic analysis: RNA recognition motif (RRM) and K homology (KH) domain RNA-binding proteins from flowering plant *Arabidopsis thaliana*. *Nucleic Acids Reseaarch.* 30: 623-635
- 14- Schagger, H., Cramer, WA. and Von Jagow, G.1994., Analysis of molecular masses and oligomeric states of protein complexes by blue native electrophoresis and isolation of membrane protein complex by two-dimentional native electrophoresis., *Anal. Biochem.* 217: 220-230
- 15- Simpson, G.G. and Fillipowicz, W. 1996., Splicing of precursors to mRNA in higher plants: mechanism, regulation and sub-nuclear organization of spliceosomal machinery. *Plant Molecular Biology.* 32:1-41
- 16- Thiellement, H., Bahrman, N., Damerval, C., Polmion,C., Rossignol, M., Santoni, V., Vienne, D. and Zivy, M.1999., Proteomics for genetic and physiological studies in plants. *Electrophoresis.* 20: 2013-2026

## Proteomic analysis of transgenic *Arabidopsis* plants over expressing *GR-RBP2* in comparison with Wild Type

Aghdasi M.

Biology Dept., Faculty of Science, Golestan University, Gorgan, I.R. of IRAN

### Abstract

Glycine-Rich RNA Binding Protein2 (GR-RBP2) is one of the eight GR-RBP family members in *Arabidopsis thaliana* which is located in mitochondria after translation. Here we employed a proteomic approach to compare transgenic *Arabidopsis* plants over expressing *GR-RBP2* with Wild Type. In this study, *GR-RBP2* gene was isolated from *Arabidopsis* and cloned into pBIN19 vector. Recombinant vector was transferred to *Arabidopsis* (Col-0) via *Agrobacterium tumefaciens* by Floral Dipping method. Transformation with full length cDNA of *GR-RBP2* yielded 21 lines. Over expressing plants are indistinguishable from WT seedlings. The whole lines are unchanged with regard to flowering time and are fully fertile. Gene expression levels were determined in different over expressing lines compare with WT seedlings. The mRNA level in over expressing lines was 2 times higher than WT. Proteomic analysis of over expressing lines were carried out on two different gel systems: 2D IEF/ SDA PAGE and 2D Blue-native/SDS PAGE. All gels were silver stained. 2D gel electrophoresis revealed that GR-RBP2 was induced in over expressing lines. Results showed that respiratory chain looks very much in the same investigated lines and WT. Complex V was partially degraded (F1 complex), but this also is the same in all samples. Approximately 110 spots were identified by mass spectrometry. Six protein spots were increased in over expressing lines compared to WT. A look at some well known proteins showed that there is no major change indicating induction or repression of metabolic pathways.

**Keywords:** GR-RBP2, Proteomic analysis, Mitochondria, Gene transformation